

## 3 Teoria Básica do Escoamento Médio

Cesar J. Deschamps  
2025

## Introdução

- As médias locais mais simples são as de velocidade,  $\bar{U}_i$ , e pressão,  $\bar{P}$ . De acordo com o conceito de média de Reynolds (1895):

$$U_i = \bar{U}_i + u_i \quad (3.1)$$

$$P = \bar{P} + p \quad (3.2)$$

- Vários escoamentos turbulentos são estatisticamente estacionários e, nesses casos, a simulação do escoamento médio pode desprezar variações temporais;
- Além disso, as propriedades resultantes dessa média variam muito menos espacialmente do que os valores instantâneos da turbulência;
- De fato, em algumas situações as propriedades médias podem apresentar variações significativas em apenas uma ou duas direções, reduzindo o custo computacional.

2025

Modelagem de Escoamentos Turbulentos - C.J. Deschamps - UFSC

2

## O Escoamento Médio

- O campo de velocidade instantâneo de um escoamento turbulento é descrito pelas equações da continuidade e de Navier-Stokes:

$$\frac{\partial \rho}{\partial t} + \frac{\partial \rho U_i}{\partial x_i} = 0$$

$$\frac{\partial \rho U_i}{\partial t} + \frac{\partial \rho U_j U_i}{\partial x_j} = -\frac{\partial P}{\partial x_i} + \frac{\partial}{\partial x_j} \left\{ \mu \left[ \frac{\partial U_i}{\partial x_j} + \frac{\partial U_j}{\partial x_i} - \frac{2}{3} \delta_{ij} \frac{\partial U_k}{\partial x_k} \right] \right\}$$

- Todas as quantidades aparecendo nas equações acima podem apresentar flutuações em seus valores, decorrentes da turbulência.
- Considerando variações desprezíveis de densidade e viscosidade, as equações de Navier-Stokes e da continuidade podem ser escritas como:

$$\frac{\partial U_i}{\partial t} + U_j \frac{\partial U_i}{\partial x_j} = -\frac{1}{\rho} \frac{\partial P}{\partial x_i} + \nu \frac{\partial^2 U_i}{\partial x_j \partial x_j} \quad (3.3)$$

$$\frac{\partial U_i}{\partial x_i} = 0 \quad (3.4)$$

2025

Modelagem de Escoamentos Turbulentos - C.J. Deschamps - UFSC

3

## O Escoamento Médio

- A média da equação (3.4) resulta:

$$\frac{\partial \bar{U}_i}{\partial x_i} = 0 \quad (3.5)$$

- Uma equação da continuidade para as flutuações pode ser obtida através da subtração de (3.5) de (3.4)

$$\frac{\partial u_i}{\partial x_i} = 0 \quad (3.6)$$

- Por outro lado, a média da equação C.Q.M. fornece

$$\frac{\partial \bar{U}_i}{\partial t} + \bar{U}_j \frac{\partial \bar{U}_i}{\partial x_j} + \overline{u_j \frac{\partial u_i}{\partial x_j}} = -\frac{1}{\rho} \frac{\partial \bar{P}}{\partial x_i} + \nu \frac{\partial^2 \bar{U}_i}{\partial x_j \partial x_j} \quad (3.7)$$

2025

Modelagem de Escoamentos Turbulentos - C.J. Deschamps - UFSC

4

## O Escoamento Médio

- Com auxílio de (3.6), o termo de flutuação na equação (3.7) pode ser reescrito da seguinte forma:

$$\overline{u_j \frac{\partial u_i}{\partial x_j}} = \frac{\partial}{\partial x_j} (\overline{u_i u_j}) \quad (3.8)$$

- Assim, a forma final de (3.7) fica

$$\begin{aligned} \frac{\partial \overline{U}_i}{\partial t} + \overline{U}_j \frac{\partial \overline{U}_i}{\partial x_j} &= -\frac{1}{\rho} \frac{\partial \overline{P}}{\partial x_i} + \nu \frac{\partial^2 \overline{U}_i}{\partial x_j \partial x_j} - \frac{\partial}{\partial x_j} (\overline{u_i u_j}) \\ &= \frac{1}{\rho} \frac{\partial}{\partial x_j} \left\{ -P \delta_{ij} + \mu \left( \frac{\partial \overline{U}_i}{\partial x_j} + \frac{\partial \overline{U}_j}{\partial x_i} \right) - \rho \overline{u_i u_j} \right\} \end{aligned} \quad (3.9)$$

- O termo relativo às flutuações de velocidade pode ser entendido como um tensor tensão adicional, conhecido como **tensor de Reynolds**.
- Esse termo representa a média do fluxo de quantidade de movimento devido à turbulência.
- O tensor de Reynolds é responsável pela interação entre a turbulência e o escoamento médio.

## O Escoamento Médio

- A equação (3.9) difere daquela que seria escrita para o escoamento laminar apenas pela presença do tensor de Reynolds,  $\overline{u_i u_j}$ .

- O tensor de Reynolds é simétrico:

$$\begin{bmatrix} -\rho \overline{u u} & -\rho \overline{u v} & -\rho \overline{u w} \\ -\rho \overline{v u} & -\rho \overline{v v} & -\rho \overline{v w} \\ -\rho \overline{w u} & -\rho \overline{w v} & -\rho \overline{w w} \end{bmatrix} ; \begin{matrix} \rho \overline{u v} = \rho \overline{v u} \\ \rho \overline{u w} = \rho \overline{w u} \\ \rho \overline{v w} = \rho \overline{w v} \end{matrix}$$

- Logo existem seis componentes independentes do tensor.
- A determinação destas componentes é o principal objetivo da modelação da turbulência.

## O Escoamento Médio

- Em situações de turbulência plenamente desenvolvida, a magnitude do tensor de Reynolds pode ser muito superior ao do tensor viscoso, ou seja,

$$\rho \|\overline{u_i u_j}\| \gg \mu \left\| \frac{\partial \overline{U}_i}{\partial x_j} + \frac{\partial \overline{U}_j}{\partial x_i} \right\| \quad (3.10)$$

- Este aspecto é uma consequência da característica de números de Reynolds elevados dos escoamentos turbulentos.

- A variação espacial da velocidade instantânea,  $\partial U_i / \partial x_j$ , é elevada, mas o mesmo não acontecendo com a variação espacial da velocidade do escoamento médio,  $\partial \overline{U}_i / \partial x_j$ .
- Uma exceção ocorre junto a superfícies sólidas, onde a turbulência decai e a variação da velocidade do escoamento médio aumenta, de tal forma que eventualmente o tensor viscoso pode ser até mesmo dominante.

## Energia do Escoamento Médio

- A equação (3.9) pode ser escrita da seguinte forma:

$$\frac{\partial \overline{U}_i}{\partial t} + \overline{U}_j \frac{\partial \overline{U}_i}{\partial x_j} = \frac{\partial T_{ij}}{\partial x_j} \quad (3.18)$$

onde

$$T_{ij} = -\overline{u_i u_j} - \frac{P}{\rho} \delta_{ij} + \nu \left( \frac{\partial \overline{U}_i}{\partial x_j} + \frac{\partial \overline{U}_j}{\partial x_i} \right) \quad (3.19)$$

é o tensor tensão efetivo do escoamento médio.

- Definindo a derivada material

$$\frac{d}{dt} \equiv \frac{\partial}{\partial t} + \overline{U}_j \frac{\partial}{\partial x_j} \quad (3.20)$$

e multiplicando (3.18) por  $U_i$  vem que

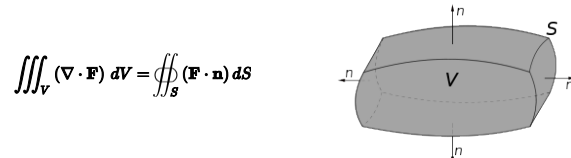
$$\frac{d}{dt} \left( \frac{1}{2} \overline{U}_i \overline{U}_i \right) = \overline{U}_i \frac{\partial T_{ij}}{\partial x_j} \quad (3.21)$$

## Energia do Escoamento Médio

- A equação (3.21) pode ser integrada em um volume material do escoamento médio, resultando:

$$\frac{d}{dt} \int \frac{1}{2} \bar{U}_i \bar{U}_i dV = \int \frac{\partial}{\partial x_j} \bar{U}_i T_{ij} dV - \int T_{ij} \frac{\partial \bar{U}_i}{\partial x_j} dV \quad (3.22)$$

- Para um volume fechado com velocidade nula nas fronteiras, o teorema do divergente permite mostrar que o primeiro termo do lado direito de (3.22) é zero.



## Energia do Escoamento Médio

- O segundo termo do lado direito de (3.22) pode ser reescrito usando a definição de  $T_{ij}$  e a condição de incompressibilidade, de tal forma que

$$\underbrace{\frac{d}{dt} \int \frac{1}{2} \bar{U}_i \bar{U}_i dV}_{\text{Taxa de variação da energia do esc.médio}} = \underbrace{\int \bar{u}_i \bar{u}_j \frac{\partial \bar{U}_i}{\partial x_j} dV}_{\text{Acoplamento do esc.médio com a turbulência}} - \underbrace{\frac{1}{2} \nu \int \left( \frac{\partial \bar{U}_i}{\partial x_j} + \frac{\partial \bar{U}_j}{\partial x_i} \right) \left( \frac{\partial \bar{U}_i}{\partial x_j} + \frac{\partial \bar{U}_j}{\partial x_i} \right) dV}_{\text{Taxa de dissipação viscosa do escoamento médio}} \quad (3.23)$$

- A forma da dissipação viscosa é desprezível longe de paredes sólidas;  
 ■ O outro termo no lado direito representa a transferência de energia do escoamento médio para a turbulência.

## Energia do Escoamento Total

- Multiplicando (3.3) por  $U_i$  e integrando em um volume material do escoamento, usando (3.4) e o teorema do divergente, com a hipótese de que a velocidade é nula nas paredes, vem que:

$$\frac{d}{dt} \int \frac{1}{2} U_i U_i dV = -\frac{1}{2} \nu \int \left( \frac{\partial U_i}{\partial x_j} + \frac{\partial U_j}{\partial x_i} \right) \left( \frac{\partial U_i}{\partial x_j} + \frac{\partial U_j}{\partial x_i} \right) dV = -\int \Delta dV \quad (3.24)$$

- Neste caso  $\Delta$  é a taxa da dissipação de energia pela ação da viscosidade.  
 ■ A energia cinética é transferida espacialmente através da advecção e pelo trabalho realizado sobre a vizinhança, via tensões normais e cisalhantes.  
 ■ Isto não aparece na equação (3.24) pois a mesma representa a integral da taxa da variação de energia.

## Energia do Escoamento Total

- Empregando a decomposição (3.1), pode-se expressar a taxa média da dissipação da energia cinética, equação (2.1), como

$$\bar{\Delta} = \frac{1}{2} \nu \left( \frac{\partial \bar{U}_i}{\partial x_j} + \frac{\partial \bar{U}_j}{\partial x_i} \right) \left( \frac{\partial \bar{U}_i}{\partial x_j} + \frac{\partial \bar{U}_j}{\partial x_i} \right) + \frac{1}{2} \nu \left( \frac{\partial \bar{u}_i}{\partial x_j} + \frac{\partial \bar{u}_j}{\partial x_i} \right) \left( \frac{\partial \bar{u}_i}{\partial x_j} + \frac{\partial \bar{u}_j}{\partial x_i} \right) \quad (3.25)$$

mostrando que a dissipação total pode ser decomposta em uma parcela devido ao escoamento médio e outra devido à turbulência.

- A dissipação instantânea  $\varepsilon$  e a dissipação média associadas à turbulência são aqui definidas como:

$$\varepsilon = \frac{1}{2} \nu \left( \frac{\partial u_i}{\partial x_j} + \frac{\partial u_j}{\partial x_i} \right) \left( \frac{\partial u_i}{\partial x_j} + \frac{\partial u_j}{\partial x_i} \right) \quad \bar{\varepsilon} = \frac{1}{2} \nu \left( \frac{\partial \bar{u}_i}{\partial x_j} + \frac{\partial \bar{u}_j}{\partial x_i} \right) \left( \frac{\partial \bar{u}_i}{\partial x_j} + \frac{\partial \bar{u}_j}{\partial x_i} \right) \quad (3.26 \text{ e } 3.27)$$

## Energia do Escoamento Total

- Dividindo (3.24) em componentes média e de flutuação e então tirando a média resulta

$$\frac{d}{dt} \int \frac{1}{2} \overline{U_i U_i} dV = - \frac{1}{2} \nu \int \underbrace{\left( \frac{\partial \overline{U_i}}{\partial x_j} + \frac{\partial \overline{U_j}}{\partial x_i} \right) \left( \frac{\partial \overline{U_i}}{\partial x_j} + \frac{\partial \overline{U_j}}{\partial x_i} \right)}_{\text{Dissipação viscosa do escoamento médio}} + \underbrace{\left( \frac{\partial u_i}{\partial x_j} + \frac{\partial u_j}{\partial x_i} \right) \left( \frac{\partial u_i}{\partial x_j} + \frac{\partial u_j}{\partial x_i} \right)}_{\text{Dissipação viscosa da turbulência}} dV \quad (3.28)$$

- A dissipação da energia devido ao escoamento médio é geralmente desprezível quando comparada à contribuição turbulenta

$$\frac{1}{2} \nu \left( \frac{\partial \overline{U_i}}{\partial x_j} + \frac{\partial \overline{U_j}}{\partial x_i} \right) \left( \frac{\partial \overline{U_i}}{\partial x_j} + \frac{\partial \overline{U_j}}{\partial x_i} \right) \ll \frac{1}{2} \nu \left( \frac{\partial u_i}{\partial x_j} + \frac{\partial u_j}{\partial x_i} \right) \left( \frac{\partial u_i}{\partial x_j} + \frac{\partial u_j}{\partial x_i} \right) \quad (3.29)$$

## Equações para Momentos de Segunda Ordem

- Uma equação de transporte para a flutuação de velocidade  $u_i$  pode ser obtida, subtraindo-se a equação do escoamento médio (3.7) da equação do escoamento instantâneo (3.3), com o emprego de (3.6) e (3.8) e as decomposições (3.1) e (3.2).

$$\frac{\partial u_i}{\partial t} + \overline{U_k} \frac{\partial u_i}{\partial x_k} + u_k \frac{\partial \overline{U_i}}{\partial x_k} + \frac{\partial}{\partial x_k} [u_i u_k - \overline{u_i u_k}] = - \frac{1}{\rho} \frac{\partial p}{\partial x_i} + \nu \frac{\partial^2 u_i}{\partial x_k \partial x_k} \quad (3.31)$$

- Observe que na equação da flutuação de velocidade aparece a velocidade média e vice-versa, indicando que ambas as componentes de velocidade do escoamento são acopladas.
- O termo de transporte por advecção na equação (3.3) propicia o surgimento de termos lineares e não lineares.

## Equações para Momentos de Segunda Ordem

- A fim de obter uma equação para a evolução de  $\overline{u_i u_j}$ , multiplica-se (3.31) por  $u_j$ , adiciona-se o resultado a uma equação similar mas com os índices  $i$  e  $j$  trocados, e finalmente tira-se a média:

$$\underbrace{\frac{\partial \overline{u_i u_j}}{\partial t}}_I + \underbrace{\overline{U_k} \frac{\partial \overline{u_i u_j}}{\partial x_k}}_{II} = \underbrace{- \overline{u_i u_k} \frac{\partial \overline{U_j}}{\partial x_k} - \overline{u_j u_k} \frac{\partial \overline{U_i}}{\partial x_k}}_{III} - \underbrace{\frac{\partial \overline{u_i u_j u_k}}{\partial x_k}}_{IV} - \underbrace{\frac{1}{\rho} \left[ \overline{u_i} \frac{\partial \overline{p}}{\partial x_j} + \overline{u_j} \frac{\partial \overline{p}}{\partial x_i} \right]}_V + \underbrace{\nu \left[ \overline{u_i} \frac{\partial^2 \overline{u_j}}{\partial x_k \partial x_k} + \overline{u_j} \frac{\partial^2 \overline{u_i}}{\partial x_k \partial x_k} \right]}_{VI} \quad (3.32)$$

- Os termos I e II são de fácil interpretação e não necessitam de detalhamento.
- O termo III representa a interação entre os campos médio e de flutuação, sendo responsável pela produção e reorientação das tensões de Reynolds.
- A advecção realizada pelo campo de flutuação de velocidade é representada pelo termo IV.

## Equações para Momentos de Segunda Ordem

$$\underbrace{\frac{\partial \overline{u_i u_j}}{\partial t}}_I + \underbrace{\overline{U_k} \frac{\partial \overline{u_i u_j}}{\partial x_k}}_{II} = \underbrace{- \overline{u_i u_k} \frac{\partial \overline{U_j}}{\partial x_k} - \overline{u_j u_k} \frac{\partial \overline{U_i}}{\partial x_k}}_{III} - \underbrace{\frac{\partial \overline{u_i u_j u_k}}{\partial x_k}}_{IV} - \underbrace{\frac{1}{\rho} \left[ \overline{u_i} \frac{\partial \overline{p}}{\partial x_j} + \overline{u_j} \frac{\partial \overline{p}}{\partial x_i} \right]}_V + \underbrace{\nu \left[ \overline{u_i} \frac{\partial^2 \overline{u_j}}{\partial x_k \partial x_k} + \overline{u_j} \frac{\partial^2 \overline{u_i}}{\partial x_k \partial x_k} \right]}_{VI} \quad (3.32)$$

- O termo V descreve os efeitos da pressão, os quais são difíceis de serem descritos porque não são locais.
- A pressão é relacionada ao campo de velocidade através de uma integral ao longo de todo o domínio.
- Finalmente, os efeitos dissipativos e difusivos são descritos pelo termo VI, sendo que ambos os fenômenos são dominados pelas pequenas escalas da turbulência.

## Equações para Momentos de Segunda Ordem

$$\underbrace{\frac{\partial \overline{u_i u_j}}{\partial t}}_I + \underbrace{\overline{U_k} \frac{\partial \overline{u_i u_j}}{\partial x_k}}_{II} = \underbrace{-\overline{u_i u_k} \frac{\partial \overline{U_j}}{\partial x_k} - \overline{u_j u_k} \frac{\partial \overline{U_i}}{\partial x_k}}_{III} - \underbrace{\frac{\partial \overline{u_i u_j u_k}}{\partial x_k}}_{IV} - \underbrace{\frac{1}{\rho} \left[ \overline{u_i} \frac{\partial \overline{p}}{\partial x_j} + \overline{u_j} \frac{\partial \overline{p}}{\partial x_i} \right]}_V + \underbrace{\nu \left[ \overline{u_i} \frac{\partial^2 \overline{u_j}}{\partial x_k \partial x_k} + \overline{u_j} \frac{\partial^2 \overline{u_i}}{\partial x_k \partial x_k} \right]}_{VI} \quad (3.32)$$

- Como indicado na seção 3.1, as equações para o escoamento médio não são fechadas pois possuem momentos de velocidade de segunda ordem.
- A equação (3.32) poderia ser usada para o fornecimento das tensões de Reynolds.
- No entanto, essa equação também não é fechada, já que nenhum dos termos IV, V e VI pode ser expresso através de momentos de segunda ordem de um ponto.

## Equações para Momentos de Segunda Ordem

- Uma equação para a energia cinética turbulenta pode ser obtida fazendo  $i = j$  na equação (3.32) e dividindo o resultado por 2, fornecendo:

$$\underbrace{\frac{\partial 1/2 \overline{q^2}}{\partial t}}_I + \underbrace{\overline{U_k} \frac{\partial 1/2 \overline{q^2}}{\partial x_k}}_{II} = \underbrace{-\overline{u_i u_k} \frac{\partial \overline{U_i}}{\partial x_k}}_{III} - \underbrace{\frac{\partial 1/2 \overline{q^2} \overline{u_k}}{\partial x_k}}_{IV} - \underbrace{\frac{1}{\rho} \overline{u_i} \frac{\partial \overline{p}}{\partial x_i}}_V + \underbrace{\nu \overline{u_i} \frac{\partial^2 \overline{u_i}}{\partial x_k \partial x_k}}_{VI} \quad (3.33)$$

- Novamente os termos de (3.33) podem ser interpretados como a seguir:
  - Os termos I e II correspondem à variação local e ao transporte advectivo de  $\overline{q^2}/2$ ;
  - O termo III representa a produção de energia cinética turbulenta pela interação entre o escoamento médio e a turbulência e possui sinal contrário ao termo similar que aparece na equação (3.23).
  - O transporte advectivo de  $\overline{q^2}/2$  pelas escalas turbulentas é descrita pelo termo IV;
  - O termo V é associado à transferência de energia através de efeitos de pressão;
  - Finalmente, o termo VI corresponde aos efeitos viscosos (dissipação e difusão).

## Equações para Momentos de Segunda Ordem

- O termo VI na equação (3.33) pode ser reescrito como:

$$\nu \overline{u_i} \frac{\partial^2 \overline{u_i}}{\partial x_k \partial x_k} = \underbrace{\nu \frac{\partial}{\partial x_j} \left\{ \overline{u_i} \left( \frac{\partial \overline{u_i}}{\partial x_j} + \frac{\partial \overline{u_j}}{\partial x_i} \right) \right\}}_{\text{Transporte viscoso}} - \underbrace{\overline{\varepsilon}}_{\text{Dissipação de energia turbulenta}} \quad (3.34)$$

- O transporte difusivo simplesmente transfere energia de um ponto para outro, não produzindo qualquer variação na energia total do domínio;
- O termo difusivo é desprezível para número de Reynolds elevados, com exceção de regiões junto a paredes sólidas;
- Já o termo associado à dissipação nunca pode ser desprezado.

## Equações para Momentos de Segunda Ordem

- A equação (3.33) pode ser reescrita com auxílio de (3.34), (3.5) e (3.6):

$$\frac{\partial 1/2 \overline{q^2}}{\partial t} = \underbrace{-\overline{u_i u_k} \frac{\partial \overline{U_i}}{\partial x_k}}_{\text{Produção}} - \underbrace{\overline{\varepsilon}}_{\text{Dissipação turbulenta}} - \underbrace{\frac{\partial}{\partial x_j} \left\{ \overline{1/2 \overline{q^2} \overline{U_j}} - \overline{u_j} \left( \frac{1}{2 \overline{q^2}} + \frac{\overline{p}}{\rho} \right) - \nu \overline{u_i} \left( \frac{\partial \overline{u_i}}{\partial x_j} + \frac{\partial \overline{u_j}}{\partial x_i} \right) \right\}}_{\text{Transporte de energia turbulenta}} \quad (3.35)$$

- A integração de (3.35) ao longo de um volume com velocidade nula nas fronteiras, e o uso do teorema do divergente, indica que o termo de transporte resulta nulo;
- Ou seja, o termo entre chaves não é responsável pelo aumento ou diminuição da energia no escoamento.

## Equações para Momentos de Segunda Ordem

- Para turbulência homogênea, a equação (3.35) torna-se

$$\frac{d\overline{u_i u_j}}{dt} = \underbrace{-\overline{u_i u_j} \frac{\partial \overline{u_i}}{\partial x_j}}_{\text{Produção}} - \underbrace{\overline{\varepsilon_i}}_{\text{Dissipação turbulenta}} \quad (3.37)$$

- Observa-se que na ausência de gradientes de velocidade, o termo de produção da energia cinética turbulenta torna-se nulo e, assim, a turbulência decai.

- Assumindo a condição de turbulência homogênea, a equação (3.32) pode ser escrita como:

$$\frac{d\overline{u_i u_j}}{dt} = -\overline{u_i u_k} \frac{\partial \overline{u_j}}{\partial x_k} - \overline{u_j u_k} \frac{\partial \overline{u_i}}{\partial x_k} + \frac{1}{\rho} \overline{p \left[ \frac{\partial u_i}{\partial x_j} + \frac{\partial u_j}{\partial x_i} \right]} - 2\nu \frac{\partial \overline{u_i u_j}}{\partial x_k \partial x_k} \quad (3.38)$$

## A Taxa da Dissipação da Energia Turbulenta

- Como já discutido, os gradientes de velocidade são dominados pelas pequenas escalas de movimento.

- Desta forma, a taxa de dissipação da energia total,  $\Delta$ , é determinada pela parcela associada à turbulência,  $\varepsilon$ . Usando a relação

$$\frac{\partial \overline{u_i}}{\partial x_j} \frac{\partial \overline{u_j}}{\partial x_i} = \frac{\partial^2 \overline{u_i u_j}}{\partial x_i \partial x_j} \quad (3.39)$$

que vem de (3.6), pode-se reescrever (3.27) como

$$\overline{\varepsilon} = \nu \frac{\partial \overline{u_i}}{\partial x_j} \frac{\partial \overline{u_j}}{\partial x_i} + \nu \frac{\partial^2 \overline{u_i u_j}}{\partial x_i \partial x_j} \quad (3.40)$$

- Uma expressão similar pode ser obtida em função de flutuações de vorticidade,  $\omega = \nabla \times \mathbf{u}$ . Assim,

$$\overline{\varepsilon} = \nu \overline{\omega_i \omega_i} + 2\nu \frac{\partial^2 \overline{u_i u_j}}{\partial x_i \partial x_j} \quad (3.41)$$

## A Taxa da Dissipação da Energia Turbulenta

- Para turbulência homogênea,

$$\overline{\varepsilon} = \nu \frac{\partial \overline{u_i}}{\partial x_j} \frac{\partial \overline{u_j}}{\partial x_i} = \nu \overline{\omega_i \omega_i} \quad (3.42)$$

- Embora seja estritamente válida para a condição de turbulência homogênea, a equação (3.42) também é uma aproximação razoável fora de camadas viscosas, desde que o número de Reynolds do escoamento seja elevado.
- Isso se deve ao fato de que as derivadas de segunda ordem são dominadas pelas pequenas escalas da turbulência, enquanto que derivadas de quantidades médias, tais como  $u_i u_j$ , são de ordem de grandeza muito menor.
- Argumentos similares podem ser usados para demonstrar que a parcela viscosa do termo de transporte da equação (3.35) pode ser desprezado fora de camadas viscosas.

## A Taxa da Dissipação da Energia Turbulenta

- Em síntese, considerando regiões distantes de camadas viscosas, a taxa de dissipação da energia do escoamento é dominada pelas pequenas escalas quando o número de Reynolds é elevado.

- A taxa de dissipação  $\varepsilon = O(u'^3/L)$  evidencia o fato de que as grandes escalas determinam a taxa de suprimento de energia dissipada nas pequenas escalas.

- Para números de Reynolds elevados, a turbulência associada às pequenas escalas apresenta um caráter aproximadamente isotrópico.

- Isto acontece porque estruturas turbulentas cada vez menores são geradas à medida que o número de Reynolds aumenta, com as suas estatísticas sendo cada vez mais independentes das grandes escalas.
- Supondo turbulência isotrópica, o termo viscoso em (3.38) pode ser aproximado através da seguinte relação:

$$-2\nu \frac{\partial \overline{u_i}}{\partial x_k} \frac{\partial \overline{u_j}}{\partial x_k} = -\frac{2}{3} \overline{\varepsilon} \delta_{ij} \quad (3.45)$$

## O Efeito da Pressão

- Aplicando o divergente na equação de Navier-Stokes, (3.3), e usando (3.4), resulta uma equação de Poisson para a pressão:

$$\nabla^2 P = -\rho \frac{\partial^2 U_i U_j}{\partial x_i \partial x_j} \quad (3.46)$$

a qual pode ser escrita em termos de grandezas médias

$$\nabla^2 \bar{P} = -\rho \frac{\partial^2}{\partial x_i \partial x_j} \{ \bar{U}_i \bar{U}_j + \overline{u_i u_j} \} \quad (3.47)$$

- Subtraindo-se (3.47) de (3.46) fornece uma equação para a flutuação de pressão

$$\nabla^2 p = -\rho \frac{\partial^2}{\partial x_i \partial x_j} \{ \bar{U}_i u_j + \bar{U}_j u_i + u_i u_j - \overline{u_i u_j} \} \quad (3.48)$$

## O Efeito da Pressão

- Soluções para (3.47) e (3.48) podem ser obtidas com o emprego de funções de Green e expressas como a soma de duas parcelas:

- uma integral de volume, representando as fontes no lado direito;
- uma integral de superfície sobre as fronteiras, representando uma solução da equação de Laplace satisfazendo as condições de contorno.

- Para o caso de escoamentos sem a presença de fronteiras:

$$\bar{P}(\mathbf{x}) = \frac{\rho}{4\pi} \iiint \frac{\partial^2}{\partial x'_i \partial x'_j} \{ \bar{U}_i(\mathbf{x}') \bar{U}_j(\mathbf{x}') - \overline{u_i u_j}(\mathbf{x}') \} \frac{d^3 \mathbf{x}'}{|\mathbf{x} - \mathbf{x}'|} \quad (3.49)$$

e

$$p(\mathbf{x}) = \frac{\rho}{4\pi} \iiint \frac{\partial^2}{\partial x'_i \partial x'_j} \{ \bar{U}_i(\mathbf{x}') u_j(\mathbf{x}') + \bar{U}_j(\mathbf{x}') u_i(\mathbf{x}') + u_i(\mathbf{x}') u_j(\mathbf{x}') - \overline{u_i u_j}(\mathbf{x}') \} \frac{d^3 \mathbf{x}'}{|\mathbf{x} - \mathbf{x}'|} \quad (3.50)$$

- O termo  $|\mathbf{x} - \mathbf{x}'|^{-1}$  representa a diminuição com a distância dos efeitos de uma fonte de pressão na posição  $\mathbf{x}'$  sobre o ponto em  $\mathbf{x}$ .

## O Efeito da Pressão

- Utilizando as expressões anteriores, pode-se avaliar as correlações pressão-velocidade na equação da energia cinética turbulenta:

$$\overline{p(\mathbf{x}) u_k(\mathbf{x})} = \frac{\rho}{4\pi} \iiint \frac{\partial^2}{\partial x'_i \partial x'_j} \{ \bar{U}_i(\mathbf{x}') \bar{u}_j(\mathbf{x}') \overline{u_k(\mathbf{x})} + \bar{U}_j(\mathbf{x}') \bar{u}_i(\mathbf{x}') \overline{u_k(\mathbf{x})} + \overline{u_i(\mathbf{x}') u_j(\mathbf{x}') u_k(\mathbf{x})} \} \frac{d^3 \mathbf{x}'}{|\mathbf{x} - \mathbf{x}'|} \quad (3.51)$$

- A equação (3.51) fornece a correlação pressão-velocidade de **um ponto** em termos de correlações duplas e triplas de velocidade de **dois pontos**:

- Uma situação similar ocorre se (3.50) é empregada para expressar a correlação pressão-velocidade na equação de transporte das tensões de Reynolds, (3.32);
- O surgimento de correlações triplas reflete o problema de fechamento, enquanto que correlações de dois pontos se devem a efeitos não locais;
- A integral em (3.51) é limitada espacialmente porque os momentos de velocidade tendem a zero quando a separação entre dois pontos,  $|\mathbf{x} - \mathbf{x}'|$ , ultrapassa o comprimento de correlação da turbulência.

## O Efeito da Pressão

- De acordo com a equação (3.48), e como refletido em (3.50), a flutuação de pressão é afetada por dois tipos de termos fontes.

- O primeiro relaciona-se a produtos de médias e flutuações de velocidade e é **linear** em relação à flutuação;
- O segundo é quadrático (**não linear**) em relação à flutuação de velocidade.

- Tais termos fontes produzem duas componentes de flutuação de pressão:

- $p^{(1)}$  – parte devido ao termo fonte linear

$$\nabla^2 p^{(1)} = -\rho \frac{\partial^2}{\partial x_i \partial x_j} \{ \bar{U}_i u_j + \bar{U}_j u_i \} \quad (3.52)$$

- $p^{(2)}$  – parte devido ao termo fonte não linear

$$\nabla^2 p^{(2)} = -\rho \frac{\partial^2}{\partial x_i \partial x_j} \{ u_i u_j - \overline{u_i u_j} \} \quad (3.53)$$

- As duas componentes,  $p^{(1)}$  e  $p^{(2)}$ , podem ter efeitos bem distintos na evolução da turbulência, sendo que  $p^{(2)}$  não depende diretamente do escoamento médio.

## O Efeito da Pressão

- O termo de pressão não aparece na equação da energia cinética turbulenta para turbulência homogênea, (3.37).

$$\frac{d\overline{1/2q^2}}{dt} = \underbrace{-\overline{u_i u_j} \frac{\partial \overline{U_i}}{\partial x_j}}_{\text{Produção}} - \underbrace{\overline{\varepsilon}}_{\text{Dissipação turbulenta}} \quad (3.37)$$

- Logo, esse termo deve apenas redistribuir energia entre as diferentes direções, aproximando ou afastando a turbulência da condição de isotropia.
- Isso pode ser mostrado pela correlação pressão-taxa-de-deformação na equação (3.38) para o tensor de Reynolds  $\overline{u_i u_j}$ , cuja diferença em relação à forma isotrópica,  $\overline{u_i u_j} = q^2 \delta_{ij} / 3$ , é uma medida de anisotropia.

$$\frac{d\overline{u_i u_j}}{dt} = -\overline{u_i u_k} \frac{\partial \overline{U_j}}{\partial x_k} - \overline{u_j u_k} \frac{\partial \overline{U_i}}{\partial x_k} + \frac{1}{\rho} \overline{p} \left[ \frac{\partial u_i}{\partial x_j} + \frac{\partial u_j}{\partial x_i} \right] - 2\nu \frac{\partial \overline{u_i u_j}}{\partial x_k \partial x_k} \quad (3.38)$$

## O Efeito da Pressão

- A correlação pressão-taxa-de-deformação em (3.38) pode ser escrita como

$$\frac{1}{\rho} \overline{p} \left[ \frac{\partial u_i}{\partial x_j} + \frac{\partial u_j}{\partial x_i} \right] = \frac{1}{\rho} \overline{p^{(1)}} \left[ \frac{\partial u_i}{\partial x_j} + \frac{\partial u_j}{\partial x_i} \right] + \frac{1}{\rho} \overline{p^{(2)}} \left[ \frac{\partial u_i}{\partial x_j} + \frac{\partial u_j}{\partial x_i} \right] \quad (3.54)$$

através da decomposição nas partes linear e não linear.

- Se a turbulência for isotrópica em algum momento e não existirem fronteiras, o segundo termo de (3.54) é nulo.
  - Isso acontece dessa forma pois  $\overline{p^{(2)}}$  não depende do escoamento médio, e sim somente da turbulência.
  - Assim, o segundo termo em (3.54) deve ser um tensor isotrópico na forma de uma constante multiplicando  $\delta_{ij}$ .
  - O traço desse tensor é nulo devido à condição de incompressibilidade, (3.6), do campo de flutuação de velocidade;

## O Efeito da Pressão

- A componente linear da pressão,  $\overline{p^{(1)}}$ , resulta da interação da turbulência com o escoamento médio e não tem razão para ser nula mesmo que a turbulência seja isotrópica em algum instante.

- O termo  $\overline{p^{(1)}}$  pode ser expresso através de correlações duplas de velocidade de dois pontos, mas a solução da integral resultante requer métodos espectrais.

- Para entender o efeito da pressão basta descrever dois casos limites:

- O primeiro deles refere-se à turbulência sem a presença de escoamento médio, para a qual o termo linear de pressão não aparece.
- O limite oposto ocorre quando o escoamento médio deforma e distorce a turbulência.
  - Se a deformação do escoamento médio for suficientemente forte, não haverá tempo para a interação da turbulência consigo mesma.
  - Esta é a base da teoria de deformação rápida da turbulência, na qual a evolução da turbulência é descrita exclusivamente pelos termos lineares.
- As observações acima explicam as denominações “rápido” e “lento” adotadas para os termos linear e não linear de pressão.

## Turbulência Homogênea sob Cisalhamento Uniforme

- Considere um escoamento médio estacionário sob cisalhamento uniforme, com apenas a componente de velocidade  $\overline{U_1}(x_2)$  não nula.

- O perfil de velocidade médio varia linearmente com  $x_2$ :

$$\overline{U_1} = s x_2 \quad (3.93)$$

onde  $s$  é uma constante, cujo recíproco ( $s^{-1}$ ) tem dimensão de tempo e fornece uma escala de tempo associada ao cisalhamento médio.

- A turbulência é considerada homogênea tal que

$$\frac{\partial \overline{u_i u_j}}{\partial x_j} = 0 \quad (3.94)$$

- Logo, a turbulência não aparece na equação do escoamento médio (3.9).



## Turbulência Homogênea sob Cisalhamento Uniforme

- A turbulência evoluirá com o tempo, mas permanecerá homogênea.
  - O número de Reynolds será considerado suficientemente elevado tal que efeitos da viscosidade sobre as grandes escalas são desprezados.
  - A equação da energia turbulenta (3.37) é:

$$\frac{d_{1/2} \overline{q^2}}{dt} = -s \overline{u_1 u_2} - \bar{\epsilon} \quad (3.95)$$

e fornece um indicativo da importância da tensão  $\overline{u_1 u_2}$ .

## Turbulência Homogênea sob Cisalhamento Uniforme

- A equação (3.38) para  $\overline{u_i u_j}$  pode ser escrita como

$$\frac{d \overline{u_i u_j}}{dt} = -s \begin{bmatrix} \overline{2u_1 u_2} & \overline{u_2^2} & \overline{u_2 u_3} \\ \overline{u_2^2} & 0 & 0 \\ \overline{u_2 u_3} & 0 & 0 \end{bmatrix} + \frac{1}{\rho} p \left( \frac{\partial u_i}{\partial x_j} + \frac{\partial u_j}{\partial x_i} \right) - 2\nu \frac{\partial u_i}{\partial x_k} \frac{\partial u_j}{\partial x_k} \quad (3.96)$$

- O caso a ser analisado considera uma condição inicial de isotropia, embora a mesma seja desfeita pela ação da deformação do escoamento médio.
- A condição de simetria para reflexão em torno de  $x_3 = 0$  permanece ao longo do tempo e, assim,  $\overline{u_1 u_3} = \overline{u_2 u_3} = 0$ .

## Turbulência Homogênea sob Cisalhamento Uniforme

- Inicialmente,  $\overline{u_1 u_2} = 0$  e a energia turbulenta decai então, de acordo com a equação (3.95) e  $\overline{u_1^2} = \overline{u_2^2} = \overline{u_3^2}$ .
  - A componente da equação (3.96) para  $\overline{u_1 u_2}$  pode ser escrita como

$$\frac{d \overline{u_1 u_2}}{dt} = -s \overline{u_2^2} + \frac{1}{\rho} p \left( \frac{\partial u_1}{\partial x_2} + \frac{\partial u_2}{\partial x_1} \right) - 2\nu \frac{\partial u_1}{\partial x_k} \frac{\partial u_2}{\partial x_k} \quad (3.97)$$

- De acordo com dados experimentais para  $s > 0$ , para a condição de número de Reynolds elevados a dissipação viscosa é pequena e  $\overline{u_1 u_2}$  torna-se negativa devido ao primeiro termo de (3.97);
- Quando  $\overline{u_1 u_2}$  torna-se negativa, o termo de produção em (3.95) começa a contrabalançar o termo de dissipação e a turbulência decai menos rapidamente;
- Eventualmente, a parcela associada a  $\overline{u_1 u_2}$  excede a dissipação e a intensidade da turbulência aumenta.

## Turbulência Homogênea sob Cisalhamento Uniforme

- O segundo termo em (3.97) atua na direção contrária do primeiro, tentando reduzir a magnitude de  $\overline{u_1 u_2}$ , e segue a equação de Poisson, (3.48):

$$\nabla^2 p = -2\rho s \frac{\partial u_2}{\partial x_1} - \rho \frac{\partial u_1}{\partial x_j} \frac{\partial u_j}{\partial x_i} \quad (3.98)$$

- Como já discutido, os termos no lado direito têm efeitos bem distintos sobre a evolução da turbulência.
  - O primeiro é linear em relação à flutuação de velocidade,  $p^{(1)} = s\Pi$ , enquanto que o segundo termo se deve à não linearidade, sendo denotado por  $p^{(2)}$ .
- Assim, a equação (3.97) pode ser expressa como

$$\frac{d \overline{u_1 u_2}}{dt} = -s \overline{u_2^2} + \underbrace{\frac{s}{\rho} \Pi \left( \frac{\partial u_1}{\partial x_2} + \frac{\partial u_2}{\partial x_1} \right)}_{\text{Linear}} + \underbrace{\frac{1}{\rho} p^{(2)} \left( \frac{\partial u_1}{\partial x_2} + \frac{\partial u_2}{\partial x_1} \right)}_{\text{Não linear}} \quad (3.99)$$

- A dissipação é desprezada pois contribui com uma parcela pequena na equação de  $\overline{u_1 u_2}$ .

## Turbulência Homogênea sob Cisalhamento Uniforme

- O termo de pressão não linear é nulo para turbulência isotrópica e, assim, seu valor inicial é zero na presente situação.

$$\frac{d\overline{u_1 u_2}}{dt} = -s \overline{u_2^2} + \underbrace{\frac{s}{\rho} \Pi \left( \frac{\partial u_1}{\partial x_2} + \frac{\partial u_2}{\partial x_1} \right)}_{\text{Linear}} + \underbrace{\frac{1}{\rho} p^{(2)} \left( \frac{\partial u_1}{\partial x_2} + \frac{\partial u_2}{\partial x_1} \right)}_{\text{Não linear}} \quad (3.99)$$

- O termo linear atua imediatamente com a deformação do escoamento e o efeito do termo não linear aumenta com a anisotropia da turbulência.
- Vamos considerar uma deformação média constante,  $s > 0$ , aplicada em uma condição inicial de turbulência isotrópica.
- O aumento de  $-\overline{u_1 u_2}$  se deve ao primeiro termo da equação (3.99), enquanto que os dois termos de correlação de pressão-deformação atuam contra este crescimento.

2025

Modelagem de Escoamentos Turbulentos - C.J. Deschamps - UFSC

37

## Turbulência Homogênea sob Cisalhamento Uniforme

- Considera-se então que a deformação seja repentinamente revertida, tal que  $-\overline{u_1 u_2}$  comece a diminuir, retrocedendo sua trajetória.

- Imediatamente após a troca do sinal de  $s$ , o primeiro e o segundo termos da direita de (3.99) trocarão seus sinais.
- No entanto, o mesmo não acontecendo com o terceiro termo pois depende somente da turbulência.

$$\frac{d\overline{u_1 u_2}}{dt} = -s \overline{u_2^2} + \underbrace{\frac{s}{\rho} \Pi \left( \frac{\partial u_1}{\partial x_2} + \frac{\partial u_2}{\partial x_1} \right)}_{\text{Linear}} + \underbrace{\frac{1}{\rho} p^{(2)} \left( \frac{\partial u_1}{\partial x_2} + \frac{\partial u_2}{\partial x_1} \right)}_{\text{Não linear}} \quad (3.99)$$

2025

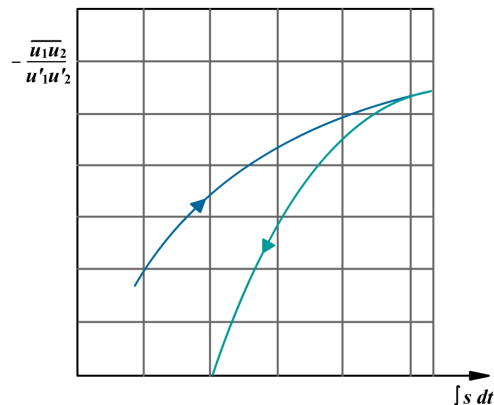
Modelagem de Escoamentos Turbulentos - C.J. Deschamps - UFSC

38

## Turbulência Homogênea sob Cisalhamento Uniforme

- Como o terceiro termo atua no sentido de reduzir  $-\overline{u_1 u_2}$ , a mesma retornará mais rapidamente a zero do que o previsto pela teoria da distorção rápida.

- Haverá histerese e a turbulência não retornará à condição de isotropia.



2025

Modelagem de Escoamentos Turbulentos - C.J. Deschamps - UFSC

39

## Turbulência Homogênea sob Cisalhamento Uniforme

- À medida que a turbulência aumenta sua intensidade, os termos não lineares tornam-se mais importantes.

- Para tempos elevados, observa-se que ocorre um estado de equilíbrio, no qual a razão das diferentes componentes  $\overline{u_i u_j}$  tende a um valor limite.
- Em particular, observa-se que a correlação  $|\overline{u_1 u_2}|/u'_1 u'_2$  alcança um valor limite em torno de 0,5.

2025

Modelagem de Escoamentos Turbulentos - C.J. Deschamps - UFSC

40

## Turbulência Homogênea sob Planos de Deformação Sucessivos

- O escoamento médio corresponde ao campo de deformação plano

$$\bar{U}_1 = \text{constante} \quad ; \quad \bar{U}_\beta = D_{\beta\gamma} x_\gamma \quad (3.107)$$

onde  $\beta$  e  $\gamma$  podem assumir valores iguais a 2 e 3.

- Assim, a deformação média acontece somente no plano  $x_2$ - $x_3$ .
- As componentes da taxa de deformação,  $D_{\beta\gamma}(t)$ , podem depender do tempo e são simétricas, ou seja,  $D_{23} = D_{32}$ , tal que a vorticidade média é zero.
- Além disto, pela equação da continuidade, seu traço  $D_{\beta\beta} = D_{22} + D_{33} = 0$ .
- Como  $D_{\beta\gamma}$  é simétrico e seu traço é nulo, a mesma pode ser colocada na forma diagonal em qualquer instante de tempo através de uma rotação do sistema de coordenadas em torno do eixo  $x_1$ , resultando  $D_{22} = -D_{33} = D$  e  $D_{23} = D_{32} = 0$ .
- Assim, o campo de deformação  $D_{\beta\gamma}(t)$  pode ser especificado através do registro temporal de  $D$  e da orientação dos eixos principais de  $D_{\beta\gamma}$  no plano  $x_2$ - $x_3$ .

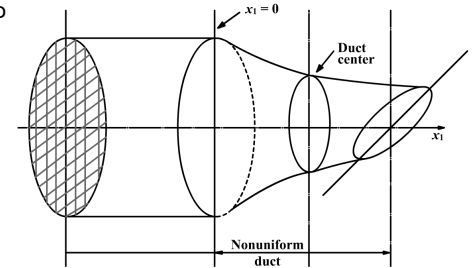
2025

Modelagem de Escoamentos Turbulentos - C.J. Deschamps - UFSC

41

## Turbulência Homogênea sob Planos de Deformação Sucessivos

- A turbulência é homogênea e não aparece na equação (3.9) do escoamento médio.



- O escoamento médio é tal que a turbulência permanece homogênea, se essa for sua condição inicial.
- A turbulência pode ser gerada por uma grelha e carregada pelo escoamento em um duto, cujo formato da seção transversal muda ao longo do comprimento, de tal forma a gerar o escoamento representado por (3.107).
- A turbulência gerada é aproximadamente homogênea, mas evolui ao longo do comprimento e mais a jusante não é exatamente homogênea.

2025

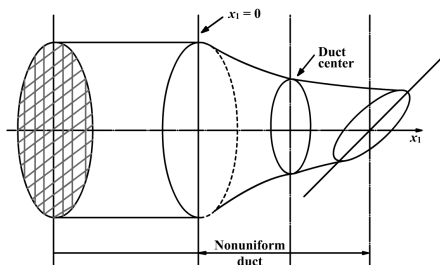
Modelagem de Escoamentos Turbulentos - C.J. Deschamps - UFSC

42

## Turbulência Homogênea sob Planos de Deformação Sucessivos

- Considerando que o tamanho das grandes escalas turbulentas é muito menor do que a escala de comprimento para a evolução da turbulência,  $\bar{U}_1/|D|$ , devido a efeitos de deformação significativos, pode-se acompanhar uma porção turbulenta ao longo do duto.

- Em qualquer posição no duto, a turbulência é localmente homogênea e com boa aproximação evolui com  $t = x_1 / \bar{U}_1$ .
- Na ausência de deformação e uma vez que efeitos da grelha tenham desaparecido, a turbulência é aproximadamente isotrópica, mas torna-se anisotrópica quando submetida à deformação.



2025

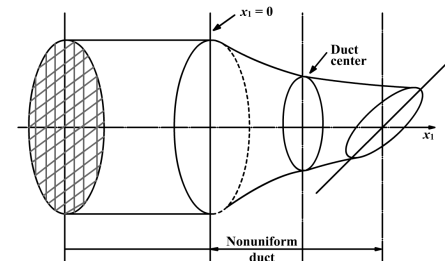
Modelagem de Escoamentos Turbulentos - C.J. Deschamps - UFSC

43

## Turbulência Homogênea sob Planos de Deformação Sucessivos

- Inicialmente, considera-se o caso de  $D_{\beta\gamma}$  constante, fornecendo uma orientação fixa para os eixos principais de deformação.

- Por simplicidade, o sistema de coordenadas é escolhido tal que os eixos principais estão nas direções  $x_2$  e  $x_3$ , correspondente uma taxa de alongamento constante  $D > 0$  em  $x_2$  e uma taxa de compressão  $D$  em  $x_3$ .
- A quantidade  $D^{-1}$  possui dimensão de tempo e a deformação acumulada pode ser avaliada pelo produto  $Dt$ .



2025

Modelagem de Escoamentos Turbulentos - C.J. Deschamps - UFSC

44

## Turbulência Homogênea sob Planos de Deformação Sucessivos

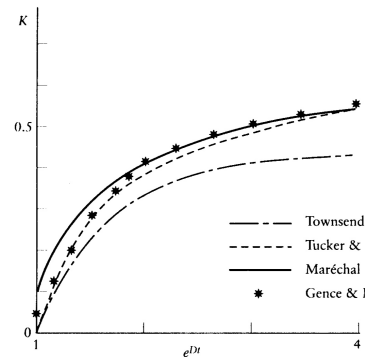
■ Dada a simetria da turbulência inicial e do campo de deformação médio sob reflexão em cada plano de coordenadas,  $\overline{u_i u_j} = 0$  para  $i \neq j$  e, assim,  $\overline{u_1^2} = \overline{u_2^2} = \overline{u_3^2}$  são as únicas componentes diferentes de zero.

■ A isotropia inicial implica que a turbulência é estatisticamente axissimétrica em relação a  $x_1$ .

■ Uma medida da extensão da perda da simetria da turbulência pode ser obtida de

$$K = \frac{\overline{u_3^2} - \overline{u_2^2}}{\overline{u_2^2} + \overline{u_3^2}}$$

■ A figura acima mostra resultados experimentais para K em função de  $e^{Dt}$ , inicialmente próxima de zero, tornando-se positiva pelo efeito do alongamento e tendendo a um valor limite para um tempo elevado.



2025

Modelagem de Escoamentos Turbulentos - C.J. Deschamps - UFSC

45

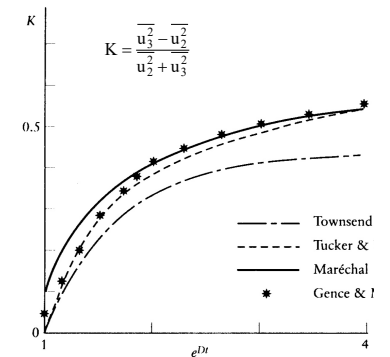
## Turbulência Homogênea sob Planos de Deformação Sucessivos

■ O aumento nos valores de K pode ser explicado de forma qualitativa a partir de argumentos baseados no alongamento de vórtices.

■ O alongamento na direção  $x_2$  tenderá a aumentar a vorticidade  $w_2 = \partial u_1 / \partial x_3 - \partial u_3 / \partial x_1$ , aumentando por consequência as magnitudes de  $u_1$  e  $u_3$ .

■ O oposto acontece com  $w_3$  devido à compressão em  $x_3$ , trazendo uma diminuição nas magnitudes de  $u_1$  e  $u_2$ .

■ Desta forma, segue que  $\overline{u_3^2}$  deveria aumentar e  $\overline{u_2^2}$  diminuir e, por esta razão, para um valor inicial de  $K = 0$  tem-se que  $K > 0$  em instantes seguintes.



2025

Modelagem de Escoamentos Turbulentos - C.J. Deschamps - UFSC

46

## Turbulência Homogênea sob Planos de Deformação Sucessivos

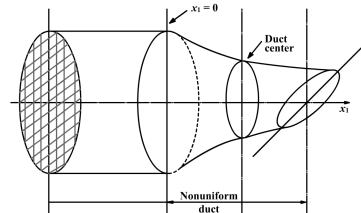
□ A segunda metade do duto pode ser rotação de um ângulo arbitrário em torno do eixo  $x_1$  do duto.

■ Esta rotação representa uma mudança brusca no eixo principal de  $D_{by}$ , que pode variar de um ângulo  $0 \leq \alpha \leq \pi/2$ , enquanto a taxa de deformação  $|D|$  permanece constante.

■ Independente de  $\alpha$ , na primeira metade do duto o comportamento da turbulência é aquele para  $D_{by}$  constante, com  $\overline{u_3^2} > \overline{u_2^2}$ .

■ Após a mudança do campo de deformação, a turbulência passa a se reajustar aos novos eixos de deformação e, em geral, os eixos principais de  $\overline{u_i u_j}$  giram em torno de  $x_1$  tentando se realinhar com os novos eixos de deformação.

■ Contudo, se  $\alpha = 0$  ou  $\alpha = \pi/2$ , os eixos principais não se alteram, ocorrendo somente uma troca de sinal em D no segundo caso.



2025

Modelagem de Escoamentos Turbulentos - C.J. Deschamps - UFSC

47

## Turbulência Homogênea sob Planos de Deformação Sucessivos

□ Ao invés da quantidade K, torna-se mais conveniente analisar esta situação com o uso do tensor simétrico adimensional

$$b_{ij} = \frac{\overline{u_i u_j}}{q} - \frac{1}{3} \delta_{ij} \quad (3.109)$$

■ O tensor  $b_{ij}$  é nulo para turbulência isotrópica.

■ Uma vez que  $b_{ij}$  é simétrico, o mesmo pode ser colocado na forma diagonal através da rotação das coordenadas para seus eixos principais, os quais são os mesmos daqueles de  $\overline{u_i u_j}$  antes da alteração repentina da deformação.

■ Uma vez que  $K > 0$ ,  $\overline{u_3^2} > \overline{u_2^2}$  e

$$b_{33} - b_{22} > 0 \quad (3.110)$$

antes da mudança do campo de deformação.

2025

Modelagem de Escoamentos Turbulentos - C.J. Deschamps - UFSC

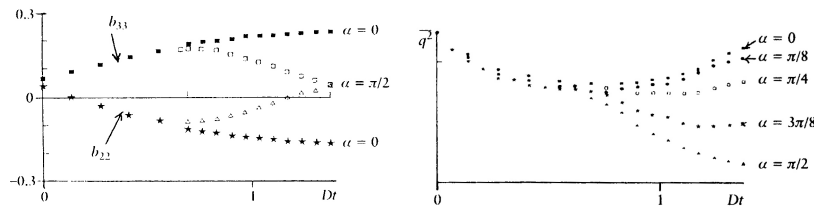
48

## Turbulência Homogênea sob Planos de Deformação Sucessivos

- A equação (3.37) para a energia turbulenta é

$$\frac{d(1/2 \overline{q^2})}{dt} = D(b_{33} - b_{22})\overline{q^2} - \bar{\epsilon} \quad (3.111)$$

- Quando o termo de produção é positivo, energia é transferida à turbulência e dissipada pelo atrito viscoso.
- Na primeira metade do duto, a produção turbulenta é positiva e a anisotropia aumenta.
- Para  $\alpha = \pi/2$ , o sinal de D é invertido na segunda metade e a produção torna-se negativa (backscatter) e a anisotropia diminui.



2025

Modelagem de Escoamentos Turbulentos - C.J. Deschamps - UFSC

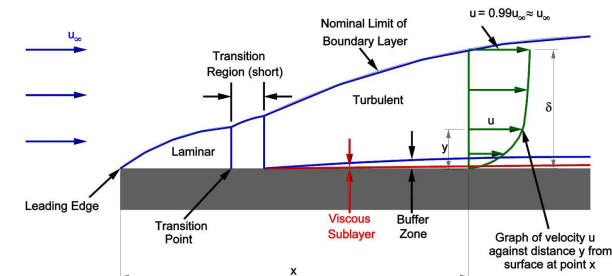
49

## Camada Limite Turbulenta

- Existem duas regiões distintas que compõem a camada limite turbulenta sobre uma parede:

- Região viscosa, na qual os transportes viscoso e turbulento são importantes;
- Região externa, muito mais espessa, onde o transporte turbulento é dominante.

- As escalas de comprimento da turbulência decrescem em direção à parede, tal que na região viscosa  $L/\eta = O(1)$  e, assim, todas as escalas são afetadas pela viscosidade.



2025

Modelagem de Escoamentos Turbulentos - C.J. Deschamps - UFSC

50

## Camada Limite Turbulenta

- Uma das quantidades mais importantes na caracterização da camada limite turbulenta é a velocidade de fricção  $u_*$ , definida a partir da tensão na parede

$$\tau_w = \mu \left. \frac{\partial \overline{U_x}}{\partial y} \right|_{y=0} \quad (3.131)$$

e expressa como

$$u_* = \sqrt{\frac{|\tau_w|}{\rho}} \quad (3.132)$$

- A velocidade de fricção é adotada para avaliar muitas das propriedades da camada limite.

2025

Modelagem de Escoamentos Turbulentos - C.J. Deschamps - UFSC

51

## Camada Limite Turbulenta

- Na região viscosa, uma análise da ordem de grandeza dos termos da equação (3.11) mostra que

$$\frac{\partial}{\partial y} \left( \nu \frac{\partial \overline{U_x}}{\partial y} - \overline{u_x u_y} \right) = 0 \quad (3.190)$$

que pode ser integrada, fornecendo

$$\nu \frac{\partial \overline{U_x}}{\partial y} - \overline{u_x u_y} = u_*^2 \quad (3.191)$$

através do emprego de  $\overline{u_x u_y}$  em  $y = 0$ .

- A equação (3.191) indica que a soma das tensões viscosa e turbulenta, é constante.

- Na parede, a tensão de Reynolds é zero, enquanto que se afastando da parede e entrando na camada inercial, a tensão viscosa é desprezível, resultando

$$-\overline{u_x u_y} = u_*^2 \quad (3.192)$$

- Assim, a tensão de Reynolds na camada inercial é aproximadamente constante e igual à fricção na parede.

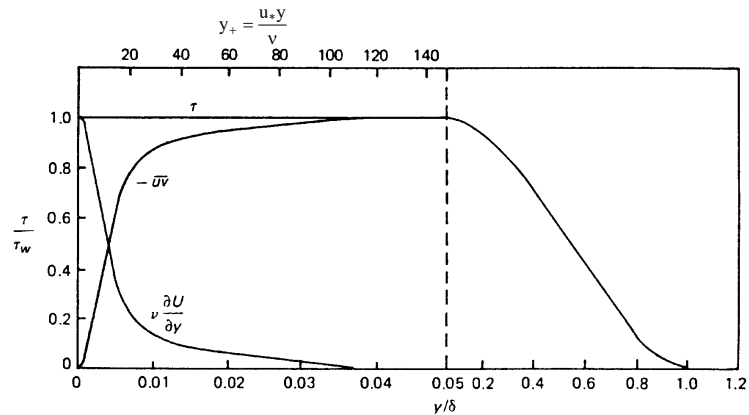
2025

Modelagem de Escoamentos Turbulentos - C.J. Deschamps - UFSC

52

## Camada Limite Turbulenta

- Tensão de cisalhamento em uma camada limite sobre placa plana.



2025

Modelagem de Escoamentos Turbulentos - C.J. Deschamps - UFSC

53

## Camada Limite Turbulenta

- Na região viscosa, a viscosidade  $\nu$  e a velocidade de fricção  $u_*$  descrevem completamente o comportamento do escoamento, significando que a escala de comprimento  $\nu/u_*$  pode ser empregada para caracterizar essa região.

- Uma distância adimensional à superfície pode ser definida usando esta escala:

$$y_+ = \frac{u_* y}{\nu} \quad (3.197)$$

- Deste modo, qualquer propriedade adimensionalizada por  $u_*$  e  $\nu$  deveria ser uma função universal de  $y_+$ . Por exemplo,

$$\frac{\overline{U}_x}{u_*} = f(y_+) \quad (3.198)$$

descreve o escoamento na região viscosa, onde  $f$  é uma função universal.

2025

Modelagem de Escoamentos Turbulentos - C.J. Deschamps - UFSC

54

## Camada Limite Turbulenta

- Uma vez que a condição de não escorregamento se aplica na parede, vem que.

$$f(0) = 0 \quad (3.199)$$

enquanto que as equações (3.131), (3.132), (3.197) e (3.198) implicam

$$\left. \frac{df}{dy_+} \right|_{y_+=0} = 1 \quad (3.200)$$

tal que

$$f(y_+) \sim y_+ \quad (3.201)$$

quando  $y_+ \rightarrow 0$ .

2025

Modelagem de Escoamentos Turbulentos - C.J. Deschamps - UFSC

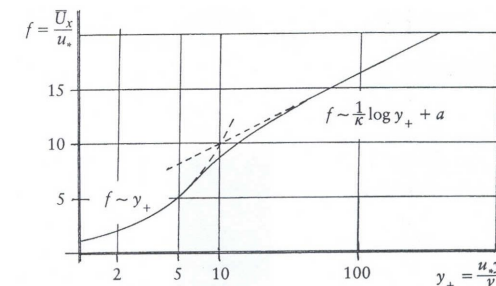
55

## Camada Limite Turbulenta

- Como será visto, para valores elevados de  $y_+$

$$f(y_+) \sim \frac{1}{\kappa} \ln y_+ + a \quad (3.202)$$

que é a conhecida Lei Logarítmica, fornecendo o perfil de velocidade via (3.198).



2025

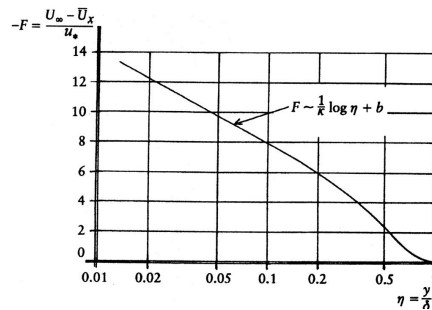
Modelagem de Escoamentos Turbulentos - C.J. Deschamps - UFSC

56

## Camada Limite Turbulenta

- A região externa da camada limite turbulenta é descrita pela variável adimensional  $\eta = y/\delta$ , com  $\delta$  sendo a espessura da camada limite.

- Dados experimentais mostram que o déficit de velocidade,  $V_x/u_*$ , é próximo a zero a partir de uma certa distância da parede.
- Para uma definição precisa, embora arbitrária, da espessura da camada limite  $\delta$ , pode-se adotar  $|V_x| = 0,1 u_*$ .



2025

Modelagem de Escoamentos Turbulentos - C.J. Deschamps - UFSC

57

## Camada Limite Turbulenta

- Considerando o escoamento sobre uma placa plana com gradiente de pressão nulo,  $U_x^{(inv)} = U_{e*}$ .
- Para número de Reynolds da camada limite suficientemente elevado, verifica-se que o déficit de velocidade,  $-V_x$ , depende somente de  $u_*$  e  $\delta$  na região externa.
- Assim, através de uma análise dimensional:

$$\frac{V_x}{u_*} = F(\eta) \quad (3.203)$$

onde  $\eta = y/\delta$  e  $F$  é uma função universal, representada na figura da página anterior.

- A equação (3.203) para o déficit de velocidade da região externa é satisfatória quando o número de Reynolds,  $Re_* = u_*\delta/\nu$ , é maior do que 2.000.
- Por sua vez, a espessura da região viscosa é muito pequena,  $O(Re_*^{-1})$ .

2025

Modelagem de Escoamentos Turbulentos - C.J. Deschamps - UFSC

58

## Camada Limite Turbulenta

- Entre a região viscosa e a região externa,  $\nu/u_* \ll y \ll \delta$ , situa-se uma região inercial, na qual tanto (3.198) quanto (3.203) são válidas.
- Assim, na região inercial, os valores de  $\bar{U}_x/u_*$  fornecidos por (3.198) e (3.203) devem coincidir, tal que

$$\hat{f}(Re_* \eta) = \frac{U_\infty}{u_*} + \hat{F}(\eta) \quad (3.204)$$

onde  $\hat{f}$  denota a forma de  $f$  com um argumento elevado e  $\hat{F}$  é a forma de  $F$  com um argumento pequeno.

- Diferenciando (3.204) em relação a  $\eta$  e multiplicando o resultado por  $\eta$ .

$$Re_* \eta \hat{f}'(Re_* \eta) = \eta \hat{F}'(\eta) \quad (3.205)$$

onde o símbolo ' é usado para indicar as derivadas.

2025

Modelagem de Escoamentos Turbulentos - C.J. Deschamps - UFSC

59

## Camada Limite Turbulenta

- Pode-se variar  $Re_* \eta$ , mantendo  $\eta$ , considerando posições longitudinais distintas da camada limite.
- É evidente que ambos os lados de (3.205) devem ser constantes e, assim,

$$y_+ \hat{f}'(y_+) = \frac{1}{\kappa} \quad (3.206)$$

onde  $\kappa$  é uma constante.

- A integral da equação acima fornece a lei logarítmica

$$\hat{f}(y_+) = \frac{1}{\kappa} \ln y_+ + a \quad (3.207)$$

apresentada anteriormente em (3.202) e que é necessária para fazer coincidir as expressões (3.198) e (3.203) na região inercial.

2025

Modelagem de Escoamentos Turbulentos - C.J. Deschamps - UFSC

60

## Camada Limite Turbulenta

- Uma consequência adicional de (3.204) é que

$$\hat{F}(\eta) = \frac{1}{\kappa} \ln \eta + b \quad (3.208)$$

- Da equação (3.204), obtém-se

$$\frac{U_\infty}{u_*} = \frac{1}{\kappa} \ln Re_* + a - b \quad (3.209)$$

que completa a concordância das duas expressões.

- A equação (3.208) fornece o déficit de velocidade do escoamento na região externa quando  $\eta \rightarrow 0$ .

## Camada Limite Turbulenta

- Por conveniência, a condição de concordância, (3.209), pode ser também escrita na seguinte forma

$$\frac{U_\infty}{u_*} + \frac{1}{\kappa} \ln \left( \frac{U_\infty}{u_*} \right) = \frac{1}{\kappa} \ln Re_\delta + a - b \quad (3.210)$$

onde  $Re_\delta = U_\infty \delta / \nu = (U_\infty / u_*) Re_*$  é outro número de Reynolds da camada limite, maior do que  $Re_*$ .

- A quantidade  $\kappa$  é a constante de Von Karman e é aproximadamente igual a 0,39.
- Experimentos indicam uma faixa dispersa de valores para a constante "a", sendo que  $a = 4$  fornece resultados razoáveis.
- A camada limite sobre placa plana fornece  $a - b \cong 6$ , tal que  $b \cong -2$ .
- Outras referências fornecem  $\kappa \cong 0,41$ ;  $a = 5,2$ ;  $b = -2,5$ .

## Camada Limite Turbulenta

- A forma universal do perfil de velocidade  $F(\eta)$  requer números de Reynolds que são somente alcançados em posições mais afastadas da região de transição.
- Os números de Reynolds  $Re_*$  e  $Re_\delta$  são elevados e crescem ao longo da camada limite, devido ao aumento da espessura da camada limite.
- Assim,  $U_\infty / u_*$  também é elevado e cresce com a posição  $x$ , de acordo com (3.209) e (3.210).

$$\frac{U_\infty}{u_*} = \frac{1}{\kappa} \ln Re_* + a - b \quad (3.209)$$

$$\frac{U_\infty}{u_*} + \frac{1}{\kappa} \ln \left( \frac{U_\infty}{u_*} \right) = \frac{1}{\kappa} \ln Re_\delta + a - b \quad (3.210)$$

## Camada Limite Turbulenta

- A condição de número de Reynolds elevado é a base da teoria da camada limite desenvolvida aqui, representada por valores pequenos de  $u_* / U_\infty$ .
- A dependência logarítmica do valor de  $U_\infty / u_*$  em  $Re_*$ , evidenciada em (3.209),

$$\frac{U_\infty}{u_*} = \frac{1}{\kappa} \ln Re_* + a - b \quad (3.209)$$

implica que o mesmo possui ordem de magnitude menor do que  $Re_*$  à medida que  $Re_* \rightarrow \infty$  e, portanto,  $U_\infty / u_* \ll Re_* \ll Re_\delta$ .

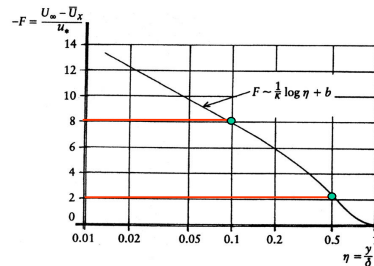
- Por exemplo, para  $Re_* = 2.000$  obtém-se  $U_\infty / u_* = 25$  de (3.209) e  $Re_\delta = (U_\infty / u_*) Re_* = 5 \times 10^4$ .

- Devido à variação logarítmica de  $U_\infty / u_*$  em relação a  $Re_*$ , o seu valor pode ser considerado praticamente constante entre posições distantes mesmo por um fator de dois a partir da borda da placa.
- No presente caso,  $U_\infty$  é constante e, assim pode-se assumir que a velocidade de fricção,  $u_*$ , é praticamente constante em longos trechos da camada limite.



## Camada Limite Turbulenta

- À medida que se avança da borda da camada limite em direção à placa,  $\bar{U}_x$  decresce vagarosamente;  $U_\infty$  até  $U_\infty - 2u_\tau$ , em  $y = \delta/2$ , e para  $U_\infty - 8u_\tau$ , em  $y = \delta/10$ .
- Considerando  $U_\infty/u_\tau = 25$ , em  $y = \delta/10$ ,  $\bar{U}_x$  é ainda aproximadamente 70% de  $U_\infty$ , indicando que grande parte de sua variação acontece muito próximo da parede.
- A região viscosa se estende até um valor máximo  $y_\tau = 50$ , correspondendo a uma posição de apenas 2,5% de  $\delta$ , para  $Re_\tau = 2000$ . Nesta posição,  $U_x \cong 15 u_\tau$ , ou seja 60% de  $U_\infty$ , se  $U_\infty/u_\tau = 25$ .



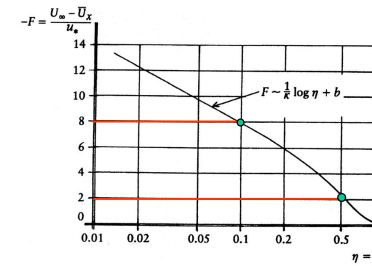
2025

Modelagem de Escoamentos Turbulentos - C.J. Deschamps - UFSC

65

## Camada Limite Turbulenta

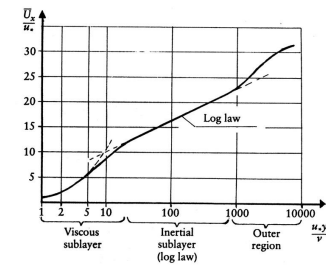
- Para  $y_+ < 5$ , a tensão viscosa torna-se a principal parcela da tensão local.
  - Uma vez que em  $y_+ = 5$  tem-se  $y = 0,0025 \delta$  e  $\bar{U}_x = 0,2 U_\infty$ , a variação de  $\bar{U}_x$  até a parede é ainda bem significativa.
- O perfil logarítmico de velocidade se estende de aproximadamente  $y_+ = 30$  até  $y = 0,2\delta$ , uma faixa que aumenta com o aumento do número de Reynolds ao longo da posição  $x$ .



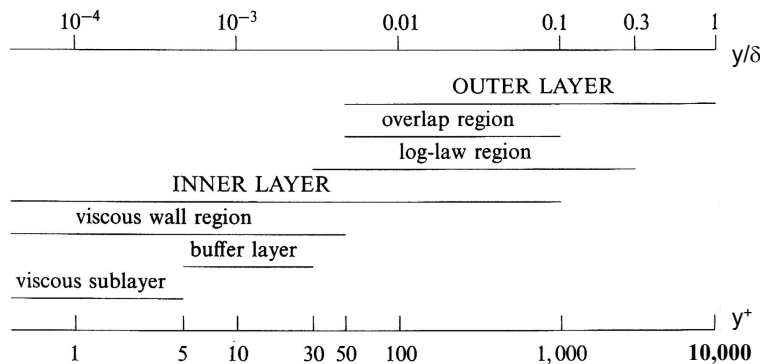
2025

Modelagem de Escoamentos Turbulentos - C.J. Deschamps - UFSC

66



## Camada Limite Turbulenta



Esboço das várias regiões de uma camada limite para o escoamento em um canal retangular, com  $Re_\tau = (u_\tau^* \delta / \nu) = 10^4$ .

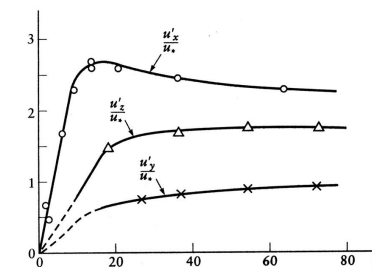
2025

Modelagem de Escoamentos Turbulentos - C.J. Deschamps - UFSC

67

## Camada Limite Turbulenta

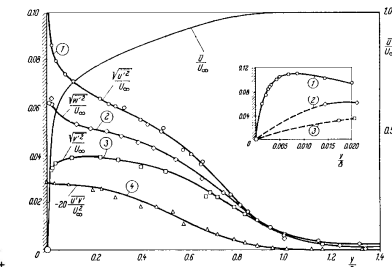
- Níveis de flutuação de velocidade
  - O nível mais elevado de flutuação acontece para a componente longitudinal,  $u'_x$ , a qual alcança o valor máximo  $u'_x = 3u_\tau$  em  $y_+ = 15$ .
  - As três componentes de flutuação possuem um comportamento universal, quando adimensionalizadas por  $u_\tau$  e colocadas em função de  $y_+$ , considerando valores de  $y_+$  não muito elevados.
  - O mesmo padrão universal pode ser verificado para a camada externa, quando a coordenada  $y_+$  é substituída por  $\eta = y/\delta$ .



2025

Modelagem de Escoamentos Turbulentos - C.J. Deschamps - UFSC

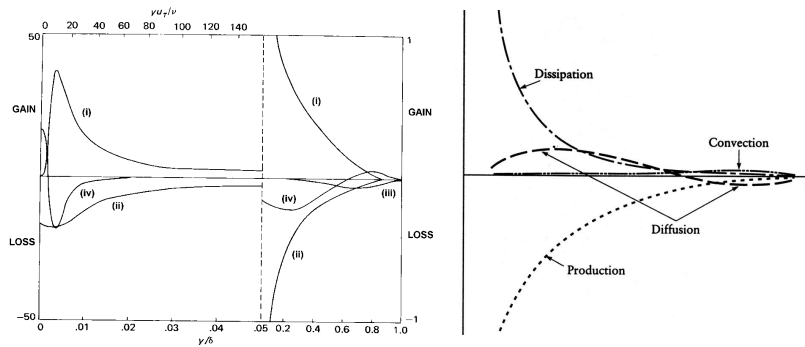
68



## Camada Limite Turbulenta

- Balço de energia cinética turbulenta para a camada limite sobre placa plana.

- Existe uma região próxima à parede, denominada "região de equilíbrio", onde os termos de produção e de dissipação são dominantes e aproximadamente iguais.
- Usando (3.192) e a lei logarítmica para  $U_x$  pode-se mostrar que a produção de energia cinética turbulenta é  $u_*^3/(\kappa y)$



2025

Modelagem de Escoamentos Turbulentos - C.J. Deschamps - UFSC

69

## Camada Limite Turbulenta

- Qualitativamente, os efeitos de gradientes de pressão são similares em camadas limite laminar e turbulenta.
- Um gradiente adverso,  $d\bar{U}_\infty/dx < 0$ , implica que  $U_y > 0$  na camada externa, de acordo com (3.193),

$$\bar{U}_y = -y \frac{d\bar{U}_\infty}{dx} \quad (3.193)$$

tendendo a afastar o escoamento médio da parede, aumentando a espessura da camada limite.

- Esse efeito é reforçado pela ação turbulenta, a qual tende a aumentar a espessura da camada limite, independente do sinal do gradiente de pressão.

2025

Modelagem de Escoamentos Turbulentos - C.J. Deschamps - UFSC

70

## Camada Limite Turbulenta

- O efeito do gradiente de pressão sobre a espessura da camada limite  $\delta$  pode ser também inspecionado através da equação de Von Karman,

$$\frac{d\delta}{dx} = \frac{1 + \kappa U_\infty/u_* + \Pi [2 + \kappa(3U_\infty/u_* - 2I_2/I_1)]}{\kappa I_1 (U_\infty/u_*)^2 - \kappa I_2 U_\infty/u_* + I_2} \quad (3.232)$$

onde o fator  $\Pi$  representa o gradiente de pressão.

$$\Pi = \frac{\delta_a}{\tau_w} \frac{dP_\infty}{dx} = -\frac{\delta_a U_\infty}{u_*^2} \frac{dU_\infty}{dx} \quad (3.181)$$

e

$$I_1 = -\int_0^\infty F(\eta) d\eta \quad (3.214) \quad I_2 = \int_0^\infty F^2(\eta) d\eta \quad (3.215)$$

2025

Modelagem de Escoamentos Turbulentos - C.J. Deschamps - UFSC

71

## Camada Limite Turbulenta

- Os valores das constantes  $I_1$  e  $I_2$  variam de acordo com a condição do gradiente de pressão.
- Uma vez que assume-se que  $U_\infty/u_*$  e  $\Pi$  variam de forma muito gradual, o mesmo acontece para  $d\delta/dx$ .
- Portanto, a camada limite considerada aqui cresce a uma taxa constante, com um ângulo determinado de (3.232).

- Naturalmente, quando  $\Pi = 0$  a equação (3.232) se reduz a

$$\frac{d\delta}{dx} = \frac{\kappa(U_\infty/u_*) + 1}{\kappa I_1 (U_\infty/u_*)^2 - \kappa I_2 (U_\infty/u_*) + I_2}$$

2025

Modelagem de Escoamentos Turbulentos - C.J. Deschamps - UFSC

72

## Camada Limite Turbulenta

□ De (3.181), verifica-se que o fator  $(\delta_d/\tau_w)$  que multiplica o gradiente de pressão é afetado por dois fatores da seguinte forma:

- Se a camada limite cresce, a espessura de deslocamento  $\delta_d$  aumenta também;
- A desaceleração do escoamento devido ao gradiente adverso de pressão resulta na redução da tensão de cisalhamento  $\tau_w$ .
- Assim, no caso do crescimento da camada limite, ambos os efeitos aumentam o coeficiente  $(\delta_d/\tau_w)$  em  $\Pi$ , amplificando o efeito do gradiente de pressão.
- Portanto, um gradiente adverso de pressão acarreta um crescimento rápido da camada limite.

$$\frac{d\delta}{dx} = \frac{1 + \kappa U_\infty/u_* + \Pi[2 + \kappa(3U_\infty/u_* - 2I_2/I_1)]}{\kappa I_1 (U_\infty/u_*)^2 - \kappa I_2 U_\infty/u_* + I_2} \quad (3.232)$$

$$\Pi = \frac{\delta_d}{\tau_w} \frac{dP_\infty}{dx} = -\frac{\delta_d U_\infty}{u_*^2} \frac{dU_\infty}{dx} \quad (3.181)$$

## Camada Limite Turbulenta

□ De acordo com (3.232), a espessura da camada limite aumenta ou diminui, dependendo se  $\Pi > \Pi_0$  ou  $\Pi < \Pi_0$ , onde

$$\Pi_0 = -\frac{\kappa U_\infty/u_* + 1}{\kappa(3U_\infty/u_* - 2I_2/I_1) + 2} \quad (3.233)$$

o qual pode-se mostrar que situa-se no intervalo  $-1 < \Pi_0 < -1/3$ , assumindo que  $\delta_m$  e  $\delta_d$  são positivos, tal que  $I_1 > 0$  e  $I_2/I_1 < U_\infty/u_*$ , de acordo com (3.212) e (3.213).

$$\frac{\delta_m}{\delta} = I_1 \frac{u_*}{U_\infty} - I_2 \left[ \frac{u_*}{U_\infty} \right]^2 \quad (3.212) \quad \frac{\delta_d}{\delta} = I_1 \frac{u_*}{U_\infty} \quad (3.213)$$

- Assim, a redução da espessura acontece sempre que  $\Pi < -1$  e nunca ocorre se  $\Pi > -1/3$ .
- Um gradiente adverso,  $\Pi > 0$ , leva a um espessamento da camada limite.
- Um gradiente favorável,  $\Pi < 0$ , reduz  $\delta$  se for suficientemente elevado.
- Para número de Reynolds elevado,  $U_\infty/u_* \rightarrow \infty$ , a distinção entre aumento ou redução da espessura da camada limite é dada por  $\Pi = -1/3$ ; Eq. (3.233).

## Camada Limite Turbulenta

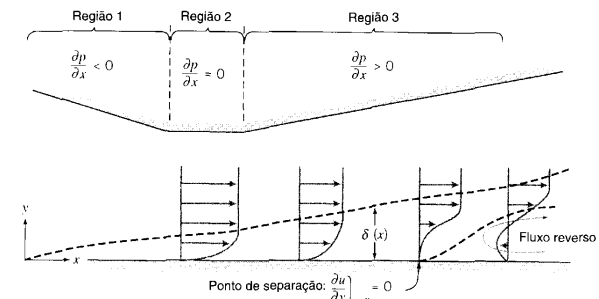
□ A situação para um gradiente favorável de pressão é bem diferente.

- Neste caso,  $dU_\infty/dx > 0$  implica que  $\bar{U}_y < 0$  na camada externa (eq. 3.193), tendendo a reduzir a espessura da camada limite, um efeito contrário ao da difusão turbulenta.
- Da equação (3.180), verifica-se agora que os efeitos do gradiente de pressão e da tensão de cisalhamento  $\tau_w$  possuem sinais contrários, reduzindo desta forma o crescimento da camada.
- Além de reduzir a espessura da camada limite, o gradiente de pressão também acelera o fluido, aumentando a tensão na parede  $\tau_w$ .
- À medida que a camada torna-se mais fina, os efeitos combinados da redução de  $\delta_d$  e do aumento de  $\tau_w$  diminuem o coeficiente  $(\delta_d/\tau_w)$  em  $\Pi$ , tal que o efeito do gradiente de pressão tem sua importância reduzida.
- Portanto, um gradiente favorável de pressão está associado a um efeito de auto-atenuação.

## Camada Limite Turbulenta

□ Além de causar um aumento da espessura da camada limite, um gradiente adverso de pressão tende a reduzir a velocidade do fluido junto à superfície.

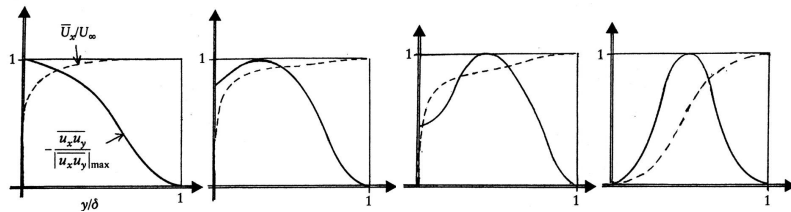
- Se o gradiente for elevado e mantido por um comprimento suficientemente longo sobre a placa, o fluido junto à superfície pode ser trazido ao repouso, originando a separação do escoamento.
- O sinal da tensão de cisalhamento,  $\tau_w$ , é alterado na separação do escoamento, devido ao escoamento reverso, e  $\tau_w = 0$  é usado para definir o ponto de separação.



## Camada Limite Turbulenta

□ A figura abaixo mostra as variações dos perfis de velocidade média e tensões de Reynolds na região externa devido a um gradiente adverso de pressão.

- À medida que o ponto de separação se aproxima, a tensão na parede diminui e o ponto de tensão turbulenta máxima se afasta da parede.
- O perfil médio de velocidade se desenvolve para uma forma com inflexão junto à superfície, com o déficit de velocidade aumentado na camada externa.
- Após a separação, os perfis de tensão e velocidade assumem formas semelhantes a de uma camada cisalhante.



2025

Modelagem de Escoamentos Turbulentos - C.J. Deschamps - UFSC

77

## Camada Limite Turbulenta

□ Baseado em dados experimentais, Coles (1956) propôs uma expressão para a lei do déficit de velocidade na região externa:

$$F(\eta) = \frac{1}{\kappa} \ln \eta + b[1 - w(\eta)/2] \quad (3.238)$$

- A função de esteira,  $w(\eta)$ , é considerada universal e fornece uma correção da camada externa para a lei logarítmica. Coles encontrou que

$$w(\eta) = 1 - \cos \pi \eta \quad (3.239)$$

- O parâmetro  $b$  descreve as variações entre as diferentes camadas limite e diferentes posições longitudinais dentro de uma dada camada.
- Deve ser observado que  $w(\eta) \rightarrow 0$  quando  $\eta \rightarrow 0$ , tal que (3.238) assume a forma de (3.208) próximo à superfície, a fim de concordar com o perfil de velocidade na região viscosa da parede.

2025

Modelagem de Escoamentos Turbulentos - C.J. Deschamps - UFSC

78

## Camada Limite Turbulenta

□ O parâmetro  $b$  pode ser obtido da relação de concordância, (3.209) ou (3.210), e pode variar com a posição longitudinal.

$$\frac{U_\infty}{u_*} = \frac{1}{\kappa} \ln \text{Re}_* + a - b \quad (3.209) \quad \frac{U_\infty}{u_*} + \frac{1}{\kappa} \ln \left( \frac{U_\infty}{u_*} \right) = \frac{1}{\kappa} \ln \text{Re}_\delta + a - b \quad (3.210)$$

- Empregando (3.238) para avaliar as integrais em (3.214) e (3.215), obtém-se

$$I_1 = 1/\kappa - b/2 \quad (3.240)$$

e

$$I_2 = 2/\kappa^2 + 3b^2/8 - 1,59b/\kappa \quad (3.241)$$

que leva a  $I_1 = 3,6$ ,  $I_2 = 25$  para gradiente nulo e, assim,  $b = -2$ .

□ Para gradientes adversos,  $b < -2$ , enquanto  $b > -2$  corresponde a gradientes favoráveis.

2025

Modelagem de Escoamentos Turbulentos - C.J. Deschamps - UFSC

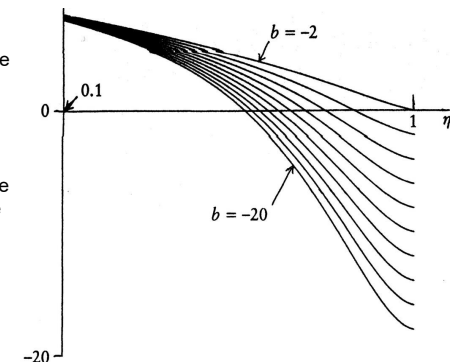
79

## Camada Limite Turbulenta

□ A figura ao lado apresenta a função  $[b + 2 - F(\eta)]$ , de acordo com (3.238) e (3.239), para valores  $b \leq -2$ .

□ As curvas mostram o déficit de velocidade da camada externa,  $-F(\eta)$ , deslocada verticalmente de  $(b + 2)$ , tal que suas assintóticas à lei logarítmica coincidem.

□ Como indicado anteriormente, a região de aplicabilidade da lei logarítmica decresce com o aumento do gradiente de pressão.



2025

Modelagem de Escoamentos Turbulentos - C.J. Deschamps - UFSC

80

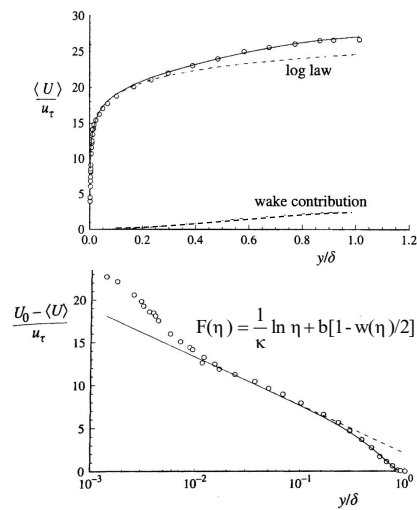
## Camada Limite Turbulenta

- Combinando a expressão para  $F(\eta)$  de Cole, (3.238), com a expressão da região viscosa da parede, (3.198), obtém-se:

$$\frac{\bar{U}_x}{u_*} = f(y_+) - \frac{1}{2}bw(\eta) \quad (3.242)$$

- A equação acima recai em (3.198) na região da parede, uma vez que  $w(\eta) \rightarrow 0$  quando  $\eta \rightarrow 0$ .

- Na camada externa, a expressão  $F(\eta)$  de Cole é obtida, usando (3.202) e a condição de concordância (3.209).



2025

Modelagem de Escoamentos Turbulentos - C.J. Deschamps - UFSC

81

## Camada Limite Turbulenta

- O limite  $b \rightarrow \infty$  corresponde a um gradiente adverso muito forte e conjectura-se que corresponde à separação.

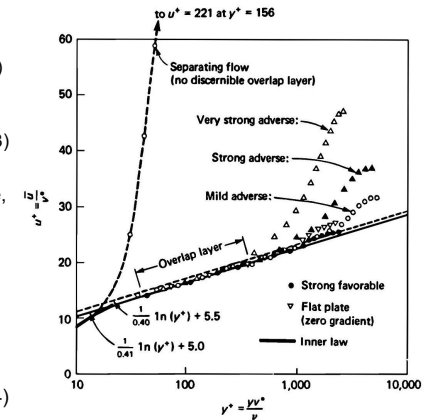
- Neste caso,  $u_* \rightarrow 0$  e (3.203) com (3.238) indicam que

$$V_x \sim u_*b[1 - w(\eta)/2] \quad (3.243)$$

- A parte logarítmica não está mais presente, implicando ausência de gradientes elevados de velocidade junto à superfície.

- Com a condição de não escorregamento,  $V_x = -U_\infty$  em  $y = 0$ , na equação (3.243), obtém-se  $b \sim -U_\infty/u_*$  e, assim,

$$\begin{aligned} \bar{U}_x &= U_\infty + V_x = U_\infty w(\eta)/2 \\ &= U_\infty (1 - \cos \pi \eta)/2 \end{aligned} \quad (3.244)$$



2025

Modelagem de Escoamentos Turbulentos - C.J. Deschamps - UFSC

82